arXiv:1109.2672v1 [physics.bio-ph] 13 Sep 2011

A new theory for the distribution of ancestors in biparental reproduction species

M. Caruso, C. Jarne

Departamento de Física Teórica y del Cosmos, Universidad de Granada, Campus de Fuentenueva, España

Departamento de Física, Facultad de Ciencias Exactas, IFLP, Universidad Nacional de La Plata, C.C.67, La Plata (1900), Argentina

June 26, 2022

Abstract

To calculate the number of ancestor of one individual from any biparental reproduction specie is necessary to use an statistical approach. It's not possible to build the progenitor's tree only assuming that the spice has a sexual biparental reproduction. In particular it not true that the simple progression of 2^{t+1} describes in a realistic way the number of ancestors after a few generations. The reason is that when we go back in generations the probability of some ancestors been relatives has an increase. This implies a restriction in the ancestor's mean number respect of 2^{t+1}. Although this number correspond to the maximum ancestor's number in the t-generation.

Considering the possibility of blood relationship between the ancestors, we show how to re-build the progenitor's tree by modeling our problem with a Markov's Chain. First we work in a continuous time variable and then by doing a discretization process we obteined the ancestor's distribution. Using covariant derivative in a proper way we normalized the distribution and included the interaction's scale. Also we obtained the ancestor's distribution it's first and second moments. Finally we calculated the entropy associated to the distribution in order to ensure that it's grows with the generation's number.

Abstract

El problema de calcular el número de ancestros de un individuo a la generación t, perteneciente a una especie que se reproduce en forma biparental, de poseer una solución, deberá estar determinada estadísticamente. Pues no es posible reconstruir todo el árbol de los sucesivos progenitores, que sigue un orden cronológico, partiendo solo del supuesto de que la especie se reproduce de esa manera.

En particular, no es válida la sencilla progresión del número de ancestros a la generación t, dada por 2^{t+1}, ya que al retroceder cronológicamente la probabilidad de que antepasados nuestros sean parientes entre sí aumenta. Esto implica una restricción del número medio de ancestros respecto del valor 2^{t+1}. Sin embargo, sabemos que tal valor corresponde al máximo número de ancestros posible para la t-ésima generación.

Considerando la posibilidad de que exista consanguinidad entre los ancestros hemos mostrado, en primer lugar, de qué manera podemos reconstruir el árbol de progenitores a través de una cadena de Markov en tiempo discreto, embebida en una cadena en tiempo contínuo. Formalizamos esta propuesta operando con aquel proceso contínuo en forma auxiliar, para obtener, por reducción al caso discreto, nuestro proceso original. En segundo lugar, hemos damos cuenta de la distribución de probabilidades de obtener n ancestros en la generación t. Aplicamos la noción de *derivada covariante*, concepto utilizado en la geometría diferencial y en las teorías cuánticas de campo actuales, para incluir la escala de la interacción. Es decir, a fin de renormalizar la distribución encontrada al número de ancestros. Identificamos la consanguinidad como la interacción perturbativa del proceso primigenio, que daba lugar al valor 2^{t+1}. Con estas ideas calculamos los dos primeros cumulantes: el valor medio y la varianza, como función de la generación. En tercer lugar, obtuvimos la entropía asociada a la distribución renormalizada, con el fin de verificar que la información estadística del número de ancestros disminuye, conforme retrocedemos generación tras generación.

Introducción

El objetivo de este trabajo es elaborar una teoría que permita estimar el número medio de ancestros de un individuo pertenciente a una especie de reproducción gámica. Posteriormente los resultados que se desprendan de dicha teoría serán contrastadas con la información existente acerca de las distribuciones reales de ancestros para individuos.

Entendemos por el término *ancestro* a un progenitor, es decir un antepasado directo, o recursivamente, a un progenitor de un ancestro y así sucesivamente.

Indicaremos con i, el número de generaciones, de manera que i=0 señale la generación de progenitores, i=1 la generación de progenitores de progenitores, etc. Denotaremos por $\mathtt{Y}(i)$ a la cantidad de ancestros de la n-ésima generación. En principio $\mathtt{Y}(i)$ estará definida sobre el conjunto natural $\mathbb{N}$, donde incluiremos al 0 por una cuestión de conveniencia.

El proceso definido como la adición progresiva de ancestros en cada generación no es estocástico. Si designamos a una generación arbitraria como la inicial (i=0), el mecanismo de *inducción* es el que permite obtener toda la secuencia de ancestros. Un individuo de la generación inicial posee dos progenitores (por hipótesis de reproducción bipartental), lo mismo diremos para cualquier otro individuo de una cadena de ancestros, por aquel formada. Dados dos progenitores cogeneracionales cualesquiera de esa cadena, cada uno posee 2 progenitores **distintos** entre sí. Concluímos que la cantidad de ancestros se arboliza como potencias de 2 *ad infinitum*, por lo tanto, el número de ancestros de la i-ésima generación es

$$\mathtt{Y}(i) = 2^{i+1} \tag{1}$$

La distribución asociada a $\mathtt{Y}(i)$ es $\mathbb{P}[\mathtt{Y}(i) = m] = \delta_{m2^{i+1}}$, entendida como una certeza absoluta sobre 2^{i+1} frente a todos los valores del conjunto $\mathbb{N}$. En este caso se cumple además que

$$\mathbb{P}[\mathtt{Y}(i) = m|\mathtt{Y}(j) = l] = \frac{\mathbb{P}[\mathtt{Y}(i) = m\,,\,\mathtt{Y}(j) = l]}{\mathbb{P}[\mathtt{Y}(j) = l]} = \delta_{m2^{i+1}} = \mathbb{P}[\mathtt{Y}(i) = m] \tag{2}$$

con $j < i$. Es decir, podemos escribir el proceso como una sucesión $\{\mathtt{Y}(i)\}_n$ de eventos independientes, por tanto libres de correlación estadística.

Al proceso descrito por la progresión geométrica de ancestros lo denominaremos *pirámide ancestral*. Este último término denota la obsoleta forma de reconstruir la secuencia de progenitores y la razón de ello la encontramos en el siguiente absurdo. Intuitivamente podemos vislumbrar una incosistencia tomando en cuenta que el número de ancestros dado por 2^{i+1} es creciente hacia generaciones pasadas, mientras que la población mundial es creciente hacia generaciones futuras. Para fijar ideas, consideremos a un individuo perteneciente a una generación que estableceremos como la actual. El número de sus ancestros a la n-ésima generación es, como se ha dicho, 2^{i+1}. Consideremos un intervalo de tiempo en el cual crece el número de la población bajo estudio, si el número de ancestros de un individuo siempre crece hacia generaciones pasadas, entonces el argumento falla en contra del crecimiento demográfico orientado hacia la actualidad.

Observemos el siguiente ejemplo: supongamos que queremos calcular el número de ancestros para un individuo perteneciente a una población de seres humanos. Para $i = 33$ observamos que el resultado de hacer esta operación da un numero mayor de individuos que la poblacion actual (del orden de 6.500 millones, [1]). Sabemos que la población mundial fue incrementándose en el transcurso del tiempo. Por lo tanto, 34 generaciones atrás siquiera existían suficientes personas contemporáneas disponibles para ser ancestro del ya mentado individuo.

Otra manera de descartar la progresión geómetrica la encontramos en los indicios experimentales de endogámia[1] en la población bajo estudio. Habremos encontrado que 2^{i+1} no puede dar el número de ancestros a la n-ésima generación, pues los eventos del proceso no son independientes y, por tanto, es erróneo considerar a $\delta_{m2^{i+1}}$ como la distribución del número de ancestros.

De esta forma, suponer que la sucesión 2^{i+1} nos da el número de ansestros nos lleva a un absurdo cuya solución es suponer que en alguna generación tuvo lugar una *unión* de tipo endogámica. La cual convenientemente ejercida[2] viene precisamente a debilitar la hipótesis inductiva, anteriormente enunciada,

[1] Endogamia: unión o reproducción entre individuos de ascendencia común.

[2] La razón de ser de todo sistema endogámico es defender la homogeneidad de un grupo, de manera que éste se mantenga siempre igual a sí mismo y diferenciable de todos los demás. La unidad del clan es la razón suprema. Entendemos a la endogamia como el rechazo a la incorporación de miembros ajenos a un grupo en particular.

dando lugar a la *consanguinidad* generacional. La debilitación de esta la hipótesis es de tipo estadística, pues no se sabe cuál generación produce una restricción al numero de ancestros.

Hasta ahora hemos utilizando como única restricción la posibilidad de parentesco entre individuos cogeneracionales. Es válido preguntarse si existe alguna causa adicional que modifique dicho valor. Una de ellas será considerar si el hecho de que la población esté aislada es un factor determinante para el cálculo propuesto. De ser así ¿qué tamaño debería tener esa población de manera que implique una restricción apreciable en el resultado? Para contestar a estas preguntas centrémonos en una dada generación, la i-ésima. Dado que 2^{i+1} es la cota superior en el número de ancestros de esa generación, podemos decir que, cuando la población sea del orden de 2^{i+1} se podrá hablar de una restricción adicional a la consanguinidad, tal como la hemos considerado anteriormente.

Proseguiremos el analisis suponiendo como única restricción la consanguinidad de individuos cogeneracionales. De esta manera, el parentesco entre progenitores interconecta los sucesos, de manera que, el proceso real no consta ya de eventos independientes, sino que existe cierto tipo de interacción entre generaciones dada por un flujo de información generacional. Consideraremos a cada generación como a un eslabón que forma parte de una sucesión de eventos concatenados.

En este trabajo estudiaremos el caso en el que estos eslabones están interconectados de manera que el proceso completo, ahora estocástico, sea una *cadena de Markov*. La razón por la que hemos utilizado un proceso de Marov radica en que estos generalizan la noción de independencia estocástica [2], que da lugar en nuestro caso, a la pirámide ancestral. Por tanto, emplearemos variables aleatorias para dar cuenta de una teoría estocástica, de manera que, las fluctuaciones estadísticas perturben la distribución $\delta_{m2^{i+1}}$.

Sobre la evolución temporal

Para definir un lenguaje común, daremos algunas definiciones. Un proceso de Markov es una subclase de la clase de los denominados *procesos estocásticos*, esto es una familia de variables aleatoria $\{\mathtt{X}(t)\}_t$, dónde t representa un parámetro del conjunto $\mathcal{T}$.

La teoría de las cadenas de Markov, consiste en la generalización más simple, que permite que el resultado de cualquier ensayo dependa del resultado del ensayo inmediatamente anterior (y solamente de él). El valor de la variable aleatoria ya no está asociada a una probabilidad a priori, sino que existe una manera de conectar dos valores de esta variable a través de una probabilidad condicional.

Por lo general el parámetro t hace referencia al tiempo. Si el conjunto $\mathcal{T}$ es numerable diremos que se trata de un proceso en *tiempo discreto* y si es no numerable, por ejemplo $\mathcal{T} \subseteq \mathbb{R}_+ \equiv \{[0,\infty)\}$, hablaremos de un proceso en *tiempo contínuo*. En este trabajo los resultados del proceso, espacio muestral de $\mathtt{X}(t)$, pertenecerán a un conjunto numerable.

Lo que distingue a un proceso de Markov del resto de los procesos estocásticos es la denominada propiedad de Markov. Para el caso en que $\mathcal{T} \cong \mathbb{N}$, el parámetro t es alguno de los elemenos de la sucesión ordenada $\{t_k : k \in \mathbb{N}\}$

$$\mathbb{P}[\mathtt{X}(t_{n+1}) = x_{n+1} | \mathtt{X}(t_0) = x_0, \ldots, \mathtt{X}(t_n) = x_n] = \mathbb{P}[\mathtt{X}(t_n) = x_n | \mathtt{X}(t_{n-1}) = x_{n-1}] \tag{3}$$

mientras que para el caso en que $\mathcal{T} \subseteq \mathbb{R}_+$, para cada $t, s, \in \mathbb{R}_+$ tenemos

$$\mathbb{P}[\mathtt{X}(t+s) = n | \mathtt{X}(u) = x(u),\ 0 \leq u \leq t] = \mathbb{P}[\mathtt{X}(t) = n | \mathtt{X}(t) = x(t)] \tag{4}$$

Las expresiones (3) y (4) dan cuenta de la misma propiedad que gobierna este tipo de procesos: la probabilidad condicional del estado futuro dado todos los anteriores (presente y pasados) depende del estado presente y es independiente del estado pasado.[3] Suele decirse que este tipo de procesos no tienen *memoria*, o al menos no la tiene a largo plazo, pues solo basta con *recodar* la información del estado actual para evolucionar al estado siguiente.

La cadena particular para estudiar el problema de ancestros debe estar definida en tiempo discreto. Ahora bien, a fin de hacer uso del cálculo diferencial y demás ventajas que serán manifestadas luego, podemos considerar la cadena de Markov del proceso de ancestros como inmersa dentro de una cadena en tiempo contínuo. El parámetro real t es una medida del lapso de tiempo entre eventos. El proceso discreto queda embebido (e incluído) en un proceso contínuo que estudiaremos en detalle.

[3] Los términos futuro, presente y pasado hacen referencia a un orden temporal, pero no necesariamente cronológico.

Para contemplar todas estas ideas, debemos redefinir la categoría de la variable del número de ancestros, ahora en tiempo contínuo $\mathtt{Y}(t)$, que en adelante será una *variable aleatoria* definida por

$$\mathtt{Y}(t) := 2^{t+1} - \mathtt{X}(t) \tag{5}$$

de manera que la variable aleatoria $\mathtt{X}(t)$ de cuenta del número de ancestros que son parientes entre sí.

El conjunto de variables aleatorias $\{\mathtt{X}(t)\}_t$ describe la dinámica completa.[4] Esta secuencia de variables aleatorias puede definirse sobre un espacio muestral A numerable.

Debemos decir que no consideraremos una distribución para cada generación que nos permita dictaminar cuál es el origen de la correlación entre generaciones. Es decir, no daremos información sobre la probabilidad de que los progenitores sean primos, hermanos, etc. Si ocurre que para algún t la variable $\mathtt{X}(t) \neq 0$, queremos significar que hay una restricción del número de ancestros y no hacer referencia a la causa que originó esa disminución en $\mathtt{Y}(t)$, respecto de 2^{t+1}. No distinguiremos entre las distintas formas de partentesco de los ancestros cogeneracionales, sino que contaremos solamente si existe o no una restricción por consanguinidad. Esto nos permite simplificar nuestra teoría, pues nos lleva a considerar procesos homogéneos, en los que la probabilidad de transición infinitesimal entre generaciónes es independiente de t.

En lo sucesivo describiremos al proceso de consanguinidad mediante una cadena en tiempo contínuo descrita por $\{\mathtt{X}(t),\, t \in \mathbb{R}_+\}$ y mostraremos de qué manera el mismo es una perturbación al proceso descrito por la pirámide ancestral.

Definimos la matriz de transferencia como $\mathcal{P}_{nm}(t,s) = \mathbb{P}[\mathtt{X}(t) = n|\mathtt{X}(s) = m]$, con $s \leq t$, cuyos elementos son las probabilidades de transición. La propiedad de Markov (4) implica que los elementos de matriz anteriores satisfacen la ecuación de Chapman-Kolmogorov [2]

$$\mathcal{P}_{nm}(t,s) = \sum_k \mathcal{P}_{nk}(t,u)\mathcal{P}_{km}(u,s) \tag{6}$$

con $s \leq u \leq t$.

Para un dado t los sucesos son mutuamente excluyentes, entonces $\mathbb{P}[\mathtt{X}(t) = n|\mathtt{X}(t) = m] = \delta_{nm}$ o en forma matricial $\mathcal{P}(t,t) = \mathbf{I}$. [5] Se definen los elementos del generador infinitesimal, asociado a la matriz $\mathcal{P}(t,s)$ como:

$$\mathrm{Q}_{ij}(t) = \lim_{\epsilon \to 0} \frac{\mathcal{P}_{ij}(t+\epsilon,t) - \delta_{ij}}{\epsilon} \tag{7}$$

El proceso se dice *homogéneo* si y solo si las transiciones no dependen de la generación actual sino solo de la diferencia entre generaciones. Esto es equivalente a que el generador $\mathbf{Q}$ sea independiente de t, i.e. las probabilidades de transición entre un tiempo t y otro $t+\epsilon$, con ϵ infinitésimo, no dependen de t.[6]

La dinámica del proceso queda determinada por el conocimiento de la distribución de probabilidades $\{\mathfrak{p}_n(t) := \mathbb{P}[\mathtt{X}(t) = n]\}_{n,t}$, asociada a la variable aleatoria $\mathtt{X}(t)$, o equivalentemente del conjunto de las probabilidades de transición $\{\mathcal{P}_{nm}(t,s)\}_{n,m,s,t}$.

Hemos dicho que para cada t los sucesos son mutuamente excluyentes, esto implica que

$$\mathfrak{p}_n(t+\epsilon) = \sum_{k \in A} \mathcal{P}_{nk}(t+\epsilon,t)\mathfrak{p}_k(t) \tag{8}$$

Esta expresión tiene la siguiente interpretación: en el tiempo $t+\epsilon$ la probabilidad de encontrar de n restricciones es el resultado de una transición desde alguno de los estados de k restricciones al tiempo t. Esta considerada la posibilidad de que no exista transición ($k = n$) y la variable $\mathtt{X}$ tome el mismo valor en t y $t+\epsilon$. Con lo cual se obtiene

$$\begin{aligned} \mathfrak{p}_n(t+\epsilon) - \mathfrak{p}_n(t) &= \sum_{k \in A} \mathcal{P}_{nk}(t+\epsilon,t)\mathfrak{p}_k(t) - \delta_{nk}\mathfrak{p}_k(t) \\ \lim_{\epsilon \to 0} \frac{\mathfrak{p}_n(t+\epsilon) - \mathfrak{p}_n(t)}{\epsilon} &=: d_t\mathfrak{p}_n(t) = \sum_{k \in A} \mathrm{Q}_{nk}(t)\mathfrak{p}_k(t) \end{aligned} \tag{9}$$

[4] Equivalentemente $\{\mathtt{Y}(t)\}_t$ también describe la dinámica, pues $\{\mathtt{X}(t)\}_t$ es un proceso de Markov si y solo si $\{\mathtt{Y}(t) = 2^{t+1} - \mathtt{X}(t)\}_t$ es un proceso de Markov.

[5] La demostración de esto se hace como sigue, considero $\mathbb{P}[\mathtt{X}(t) = n, \mathtt{X}(t) = m] = \delta_{nm}\mathbb{P}[\mathtt{X}(t) = m]$. Por otro lado, la probabilidad condicional la podemos escribir $\mathbb{P}[\mathtt{X}(t) = n|\mathtt{X}(t) = m]\,\mathbb{P}[\mathtt{X}(t) = m] = \mathbb{P}[\mathtt{X}(t) = n, \mathtt{X}(t) = m]$, entonces $\mathbb{P}[\mathtt{X}(t) = n|\mathtt{X}(t) = m] = \delta_{nm}$

[6] La demostración de esto se basa en que las probabilidades de transición toman la forma $\mathcal{P}_{nm}(t,s) \doteq \mathcal{P}_{nm}(t-s)$, con $s \leq t$ y junto con la definición (7) del generador infinitesimal, implica que $\mathbf{Q}(t) \doteq \mathbf{Q}$. El recíproco puede mostrarse escribiendo la serie de Dyson para las probabilidades de transición.

Definimos el vector $\mathbf{P}(t)$ cuyas componentes sean las distribuciónes $\{\mathfrak{p}_n(t)\}_n$, podemos escribir a partir de (9) $d_t\mathbf{P}(t) = \mathbf{Q}(t)\mathbf{P}(t)$, y que para el caso en que el proceso sea homogéneo se reduce

$$d_t\mathbf{P}(t) = \mathbf{Q}\mathbf{P}(t) \tag{10}$$

El conocimiento del generador infinitesimal $\mathbf{Q}$ junto con las condiciones iniciales para el vector $\mathbf{P}(t)$, determinan la solución del problema. Prueba de ello se encuentra en la form explícita de la solución única [2] para $\mathbf{P}(t)$, que es $\mathbf{P}(t) = \exp(t\mathbf{Q})\,\mathbf{P}(0)$.

La variación temporal del vector $\mathbf{P}(t)$ es nula si y solo si no hay interacción entre las generaciones. [7] Esto demuestra que la interacción propuesta, que es el resultado de la consanguinidad de progenitores, se comporta como una perturbación del proceso descrito por la pirámide ancestral.

[7] La demostración de esto se hace como sigue, la solución de (10) es $\mathbf{P}(t) = \exp(t\mathbf{Q})\,\mathbf{P}(0)$, luego la variación nula de $\mathbf{P}(t)$ se da si y solo si $\mathbf{Q} = \mathbf{0}$, con lo cuál las probabilidades de transición entre generaciones son nulas y obtenemos que no existe flujo de información entre generaciones.

Tirando de una cadena en particular

Formalizaremos el problema, de manera que el valor medio de ancestros, definido por $\alpha(t) := \langle \mathtt{Y}(t) \rangle$, tenga la forma:

$$\alpha(t) = \langle 2^{t+1} - \mathtt{X}(t) \rangle = 2^{t+1} - \mathfrak{c}(t) \tag{11}$$

donde $\mathfrak{c}(t) = \langle \mathtt{X}(t) \rangle$ es el término que restringe, por consanguinidad, al número de ancestros.

Definimos las distribuciones de probabilidades $\mathfrak{P}_m(t) := \mathbb{P}[\mathtt{Y}(t) = m]$ y $\mathfrak{p}_n(t) := \mathbb{P}[\mathtt{X}(t) = n]$. De la correlación (5), obtenemos $\mathfrak{P}_m(t) = \mathfrak{p}_n(t)$, cuando $m = 2^{t+1} - n$. Notemos que $\langle 2^{t+1} \rangle = 2^{t+1}$ si y solo si la distribución está normalizada i.e. $\sum_{n \in A} \mathfrak{p}_n(t) = \sum_{m \in B} \mathfrak{P}_m(t) = 1$, con A y B espacios muestrales de las variables $\mathtt{X}(t)$ e $\mathtt{Y}(t)$. Este requisito de la norma será satisfecho por la distribución que daremos finalmente.

Así el valor medio de $\mathtt{Y}(t)$ puede escribirse usando (5)

$$\langle \mathtt{Y}(t) \rangle = \sum_{n \in A} (2^{t+1} - n) \mathfrak{p}_n(t) = 2^{t+1} - \langle \mathtt{X}(t) \rangle$$

que es precisamente la ecuación (11).

Vamos ahora a obtener una ecuación de evolución para la distribución $\{\mathfrak{p}_n(t)\}_n$. Empezaremos trabajando en el espacio muestral $A = \mathbb{N}$. Veremos que esto implica una condición de borde para el estado $n = 0$.

Para el caso general desarrollamos la matriz $\mathcal{P}(t + \epsilon, t)$, según la serie de Dyson, para ϵ pequeño:

$$\mathcal{P}_{nk}(t + \epsilon, t) = \delta_{nk} + \epsilon\, \partial_t \mathcal{P}_{nk}(t, s)|_{s=t} + \ldots = \delta_{nk} + \epsilon\, \mathrm{Q}_{nk}(t) + \ldots \tag{12}$$

si consideramos un ϵ suficientemente pequeño en (8), el proceso es tal que en una evolución temporal $t \longmapsto t+\epsilon$ solo son posibles las transiciones a los estados inmediatamente próximos e incluso está la posibilidad de que no exista transición: $\mathcal{P}_{nm}(t + \epsilon, t) = 0$ si $|n - m| > 1$. Para $n \neq 0$: $n \longmapsto \{n\ -1, n, n\ +1\}$, mientras que para $n = 0$: $n \longmapsto \{n, n + 1\}$. Solamente estas posibilidades excluyentes configuran la variedad de estados a partir de una evolución temporal infinitesimal, para $n \neq 0$, $\forall t$: $\sum_{k \in \{-1,0,1\}} \mathcal{P}_{nk}(t + \epsilon, t) = 1$, $\forall \epsilon$ pequeño para $n = 0$, $\forall t$: $\sum_{k \in \{0,1\}} \mathcal{P}_{nk}(t + \epsilon, t) = 1$, $\forall \epsilon$ pequeño.

Escribimos explícitamente la forma de la matriz de transición para $n \neq 0$

$$\mathcal{P}_{nk}(t + \epsilon, t) = \begin{cases} \mu_k(t)\epsilon + \mathcal{O}(\epsilon) & k = n + 1 \\ 1 - \nu_k(t)\epsilon - \mu_k(t)\epsilon + \mathcal{O}(\epsilon) & k = n \\ \nu_k(t)\epsilon + \mathcal{O}(\epsilon) & k = n - 1 \end{cases}$$

con $\mathcal{O}(\epsilon)$ es una función de la conjunto $\{g(t) : \lim_{\epsilon \to 0} \frac{g(\epsilon)}{\epsilon} = 0\}$. Mientras que para $n = 0$

$$\mathcal{P}_{nk}(t + \epsilon, t) = \begin{cases} \mu_k(t)\epsilon + \mathcal{O}(\epsilon) & k = n + 1 \\ 1 - \nu_k(t)\epsilon + \mathcal{O}(\epsilon) & k = n \end{cases}$$

Para el caso homogéneo, las transiciones infinitesimales se reducen a

$$\mathcal{P}_{nk}(t + \epsilon, t) \doteq \mathcal{P}_{nk}(\epsilon) \begin{cases} \mu_k\epsilon + \mathcal{O}(\epsilon) & k = n + 1 \\ 1 - \nu_k\epsilon - \mu_k\epsilon + \mathcal{O}(\epsilon) & k = n \\ \nu_k\epsilon + \mathcal{O}(\epsilon) & k = n - 1 \end{cases} \tag{13}$$

para $n \neq 0$ y

$$\mathcal{P}_{nk}(t + \epsilon, t) \doteq \mathcal{P}_{nk}(\epsilon) = \begin{cases} \mu_k\epsilon + \mathcal{O}(\epsilon) & k = n + 1 \\ 1 - \nu_k\epsilon + \mathcal{O}(\epsilon) & k = n \end{cases} \tag{14}$$

por lo tanto para $n \neq 0$

$$\mathfrak{p}_n(t + \epsilon) = [1 - \nu_n\epsilon - \mu_n\epsilon + \mathcal{O}(\epsilon)]\mathfrak{p}_n(t) + [\nu_{n-1}\epsilon + \mathcal{O}(\epsilon)]\mathfrak{p}_{n-1}(t) + [\mu_{n+1}\epsilon + \mathcal{O}(\epsilon)]\mathfrak{p}_{n+1}(t)$$

$$\frac{\mathfrak{p}_n(t + \epsilon) - \mathfrak{p}_n(t)}{\epsilon} = -\left[\nu_n - \mu_n + \frac{\mathcal{O}(\epsilon)}{\epsilon}\right]\mathfrak{p}_n(t) + \left[\nu_{n-1} + \frac{\mathcal{O}(\epsilon)}{\epsilon}\right]\mathfrak{p}_{n-1}(t) + \left[\mu_{n+1} + \frac{\mathcal{O}(\epsilon)}{\epsilon}\right]\mathfrak{p}_{n+1}(t)$$

tomando el límite $\epsilon \to 0$

$$d_t\mathfrak{p}_n(t) = -(\nu_n + \mu_n)\mathfrak{p}_n(t) + \nu_{n-1}\mathfrak{p}_{n-1}(t) + \mu_{n+1}\mathfrak{p}_{n+1}(t)$$

repetiendo el razonamiento anterior para el caso en que $n = 0$ concluímos que las ecuaciones de evolución tienen la forma

$$\begin{aligned} d_t\mathfrak{p}_n(t) &= -(\nu_n + \mu_n)\mathfrak{p}_n(t) + \nu_{n-1}\mathfrak{p}_{n-1}(t) + \mu_{n+1}\mathfrak{p}_{n+1}(t) \\ d_t\mathfrak{p}_0(t) &= -\nu_0\mathfrak{p}_0(t) + \mu_1\mathfrak{p}_1(t) \end{aligned} \tag{15}$$

Comparando (15) con (10) podemos identificar los elementos de la matriz $\mathbf{Q}$

$$\mathbf{Q} = \begin{pmatrix} -\nu_0 & \mu_1 & 0 & 0 & 0 & \dots & \dots \\ \nu_0 & -\mu_1 - \nu_1 & \mu_2 & 0 & 0 & \dots & \dots \\ 0 & \nu_1 & -\mu_2 - \nu_2 & \mu_3 & 0 & \dots & \dots \\ 0 & 0 & \nu_2 & -\mu_3 - \nu_3 & \mu_4 & 0 & \dots \\ \vdots & \vdots & \vdots & \vdots & \vdots & \vdots & \ddots \end{pmatrix} \tag{16}$$

La dinámica descrita por estas ecuaciones son materia conocida en el campo de los procesos de *nacimiento-muerte* (*birth-dead process*) estudiados en la *teoría de colas* (*queueing theory*) [3]. Estudiaremos el caso particular en que las probabilidades de transición no dependan del estado que tome la variable aleatoria $\mathtt{X}(t)$, i.e. $\nu_k = \nu$ y $\mu_{k+1} = \mu$, $\forall k \in \mathbb{N}$. La razón de ello se encuentra considerando el problema de ancestros desde un enfoque dado por la teoría de colas. La ecuación (15) responde a un proceso no ramificado de una *cola* y un *servidor*. Desde esta perspectiva el proceso puede verse como un *casting de viejos*. Esto es, en cada generación t, hacemos formar a toda la humanidad cogeneracional y realizamos la clasificación de si es o no ancestro del individuo en cuestión. Definimos a la variable aleatoria $\mathbf{T}_+$ ($\mathbf{T}_-$) que indica el tiempo de espera para que un individuo de la generación t-ésima sea ingresado (egresado) definitívamente al conjunto de ancestros de ese árbol. La probabilidad $\mathbb{P}[\mathbf{T}_+ > t|\mathtt{X}(t) = k]$ no puede depender del valor que tome la variable aleatoria $\mathtt{X}(t)$ y como el proceso es homogéneo, entonces la distribuición de los tiempos de espera $\mathbf{T}_\pm$ es exponencial [3] $\mathbb{P}[\mathbf{T}_+ > t|\mathtt{X}(t) = k] = e^{-t\nu_k}$. Luego $\nu_k = \nu$, $\forall k \in \mathbb{N}$. Repitiendo el mismo razonamiento para $\mathbf{T}_-$ obtenemos $\mu_{k+1} = \mu$, $\forall k \in \mathbb{N}$.

Por otro lado, puesto que $\mathbf{T}\pm$ está distribuida exponencialmente entonces $\langle \mathbf{T}_+ \rangle = \frac{1}{\nu}$, de igual manera $\langle \mathbf{T}_- \rangle = \frac{1}{\mu}$, es el tiempo medio de espera que tienen todos las personas cogeneracionales a t para ser *atendidas*. Estos tiempos deben ser iguales, pues, en el lapso de tiempo entre una generación y otra todos las personas cogeneracionales deben ser atendidas.

Recordando que el proceso a estudiar es en tiempo discreto y además que la unidad mínima de tiempo es de 1 generación, entonces $\langle \mathbf{T}_\pm \rangle = 1$. Por lo tanto $\nu_k = \nu = 1 = \mu = \mu_{k+1}$, $\forall k \in \mathbb{N}$. Esto reduce significativamente las ecuaciones (15) y el generador infinitesimal (16) a las formas

$$\begin{aligned} d_t\mathfrak{p}_n(t) &= -2\mathfrak{p}_n(t) + \mathfrak{p}_{n-1}(t) + \mathfrak{p}_{n+1}(t) \\ d_t\mathfrak{p}_0(t) &= -\mathfrak{p}_0(t) + \mathfrak{p}_1(t) \end{aligned} \tag{17}$$

$$\mathbf{Q} = \begin{pmatrix} -1 & 1 & 0 & 0 & 0 & \dots & \dots \\ 1 & -2 & 1 & 0 & 0 & \dots & \dots \\ 0 & 1 & -2 & 1 & 0 & \dots & \dots \\ 0 & 0 & 1 & -2 & 1 & 0 & \dots \\ \vdots & \vdots & \vdots & \vdots & \vdots & \vdots & \ddots \end{pmatrix} \tag{18}$$

Respecto de la condición inicial $\mathbf{P}(0)$ diremos que para t=0 tenemos certeza absoluta sobre el número de ancestros $\mathtt{Y}(0) = 2$ esto implica $\mathtt{X}(0) = 0$, por tanto $\mathfrak{p}_n(0) = \delta_{n0}$, o en forma vectorial

$$\mathbf{P}(0) = (1, 0, \dots)^\intercal \tag{19}$$

La solución explícita de (15)-(19) tiene la forma [3]

$$\mathfrak{p}_n(t) = e^{-2t}[I_n(2t) + I_{n+1}(2t)] \tag{20}$$

donde $I_n(x)$ es la función de Bessel modificada.

Sobre el cálculo de los primeros momentos

En primer lugar sabemos que $\sum_{n\in\mathbb{N}} I_n(x) \longrightarrow \frac{e^x+I_0(x)}{2}$ uniformemente en toda la recta real [4]. Lo cual nos permite escribir la norma de la distribución y demostrar que $\sum_{n\in\mathbb{N}} \mathfrak{p}_n(t) \longrightarrow 1$ uniformemente en toda la recta.

Con esta información se demuestra que todas la series de la forma

$$\mathfrak{S}_k(t) = \sum_{n\in\mathbb{N}} n^k\, \mathfrak{p}_n(t) \tag{21}$$

con $k \in \mathbb{N}$, convergen uniformemente $\forall t$. Para probarlo definimos la serie $\sum_{n\in\mathbb{N}} \mathfrak{p}_n(t)\, z^n$, para $z \in \mathbb{R}$. Si ésta converge entonces define a la *función generatriz*, denotada por $g_t(z)$. Para cada t, hemos demostrado que $g_t(1) \longrightarrow 1$ unformemente, luego por el teorema de Abel [5], $\sum_{n\in\mathbb{N}} \mathfrak{p}_n(t)\, z^n \longrightarrow g_t(z)$ uniformemente para $z \in [0,1]$, luego la serie puede derivarse término a término, con lo cual $\sum_{n\in\mathbb{N}} \frac{n!}{(n-k)!}\mathfrak{p}_n(t) \longrightarrow \partial_{z^k} g_t(z)|_{z=1}$ uniformemente $\forall t$. Finalmente, como $\mathfrak{S}_k(t)$ puede obtenerse a partir de una combinación de las series $\partial_{z^k} g_t(z)|_{z=1}$, esto completa la demostración.

Considerando la convergencia uniforme podemos derivar término a término la serie (21) y usando (15), podemos obtener una ecuación diferencial para los dos primeros cumulantes: el valor medio y la varianza, independientemente del conocimiento explícito de la solución $\mathfrak{p}_n(t)$.

Diremos acerca de la varianza, que es indistinto calcularla para $\mathtt{X}(t)$ o $\mathtt{Y}(t)$, pues la distribución está normalizada a 1, en efecto

$$\sigma_{\mathtt{Y}}(t) = \langle[\mathtt{Y}(t) - \langle\mathtt{Y}(t)\rangle]^2\rangle = \langle\left[2^{t+1} - \mathtt{X}(t) - \langle 2^{t+1} - \mathtt{X}(t)\rangle\right]^2\rangle = \langle[\mathtt{X}(t) - \langle\mathtt{X}(t)\rangle]^2\rangle = \sigma(t)$$

En adelante, denotaremos simplemente $\sigma(t) = \sigma_{\mathtt{X}}(t) = \sigma_{\mathtt{Y}}(t)$.

Para el caso general con μ y ν arbitrarios, estos cumulantes tienen la forma

$$\begin{aligned} d_t\mathfrak{c}(t) &= \mu\mathfrak{p}_0(t) + (\nu - \mu) \\ d_t\sigma(t) &= 2(\nu-\mu)\mathfrak{c}(t) + \nu + \mu - \mu\mathfrak{p}_0(t) - 2\mathfrak{c}(t)[\mu\mathfrak{p}_0(t) + \nu - \mu] \end{aligned}$$

recordando que $\mathfrak{p}_n(0) = \delta_{n0}$, entonces las condiciones iniciales toman la forma $\mathfrak{c}(0) = 0$ y $\sigma(0) = 0$.

Las expresiones anteriores, para el caso en que $\mu = 1 = \nu$, se reducen a

$$\mathfrak{c}(t) = \int_0^t \mathfrak{p}_0(t')dt' \tag{22}$$

$$\sigma(t) = 2t - \int_0^t \mathfrak{p}_0(t')dt' - 2\int_0^t\int_0^{t'} \mathfrak{p}_0(t')\mathfrak{p}_0(t'')dt'dt'' \tag{23}$$

Las expresiones (22)-(23) nos muestran que para determinar $\mathfrak{c}(t)$ y $\sigma(t)$ es suficiente conocer la distribución $\mathfrak{p}_0(t)$, es decir, la probabilidad de que el número de ancestros tome el máximo valor posible (2^{t+1}) para esa generación.

Para obtener una expresión analítica de estos dos cumulantes, podemos resolver (22) y (23). O bien, mediante la identidad $nI_n(x) = \frac{x}{2}[I_{n-1}(x) - I_{n+1}(x)]$, calcular por definición $\mathfrak{c}(t)$ y $\sigma(t)$

$$\mathfrak{c}(t) = \sum_{n\in\mathbb{N}} n\mathfrak{p}_n(t) = e^{-2t}[2t\, I_1(2t) + (2t + \tfrac{1}{2})\, I_0(2t)] - \tfrac{1}{2} \tag{24}$$

$$\sigma(t) = \sum_{n\in\mathbb{N}} [n - \mathfrak{c}(t)]^2\mathfrak{p}_n(t) = 2t + \tfrac{1}{2} - e^{-2t}\left[2t\, I_1(2t) + (2t + \tfrac{1}{2})\, I_0(2t)\right] - \mathfrak{c}_n^2(t) \tag{25}$$

Hemos obtenido los cuantificadores de la interacción: el valor medio, la varianza, la entropía.

Esta teoría admite además un corolario cuantitativo *a medida que nos alejamos generacionalmente, la consanguinidad debe aumentar estadísticamente.* La demostración de esto puede hacerse a partir de (22) $d_t\mathfrak{c}(t) = \mathfrak{p}_0(t) > 0$, i.e. $\langle\mathtt{X}(t)\rangle$ es monótonamente creciente con t.

Sobre la necesidad de renormalización de la teoría

Hemos mostrado que la distribución $\mathfrak{p}_n(t)$ dada por (20) está normalizada sobre todo el conjunto natural $\mathbb{N}$. De allí que la interacción posee una escala irrisoria, pues, el orden de la interacción $\langle \mathtt{X}(t) \rangle$ es mucho menor que 2^{t+1}. Esto se debe a que hemos elegido, por simplicidad, que la variable aleatoria $\mathtt{X}(t)$ esté distribuida sobre el conjunto $\mathbb{N}$. Sabiendo que para cada t existe un valor máximo que puede esta puede tomar, mostraremos que si consideramos el espacio muestral real obtendremos la escala correcta de la interacción.

Los espacios muestrales $\mathtt{X}(t)$ y $\mathtt{Y}(t)$ están biunívocamente relacionados por (5). Partiendo de la certeza de que hay descendencia, el valor mínimo de $\mathtt{Y}(t)$ es 2. Pues, si fuese igual a 0 entonces no habría descendencia, en contra de la hipótesis inicial, y si fuese igual a 1 estaríamos fuera del problema, respecto a que la reproducción es biparental. Entonces tenemos que $\mathtt{Y}(t) \in [2, 2^{t+1}] \subseteq \mathbb{N}$, luego el espacio muestral de $\mathtt{X}(t)$ es $\mathbb{E}_t = [0, \mathfrak{n}_t] \subseteq \mathbb{N}$, siendo $\mathfrak{n}_t = 2^{t+1} - 2$ el máximo valor que puede tomar $\mathtt{X}(t)$ para un dado t. Si queremos utilizar este espacio muestral finito para describir el proceso, existirán dos bordes $n = 0$ y $n = \mathfrak{n}_t$, con lo cual las ecuaciones de evolución (17) se ven ligeramente modificadas

$$d_t \mathfrak{p}_n(t) = \begin{cases} -\mathfrak{p}_n(t) + \mathfrak{p}_{n+1}(t) & n = 0 \\ -2\mathfrak{p}_n(t) + \mathfrak{p}_{n+1}(t) + \mathfrak{p}_{n-1}(t) & 0 < n < \mathfrak{n}_t \\ -\mathfrak{p}_{n-1}(t) + \mathfrak{p}_n(t) & n = \mathfrak{n}_t \end{cases} \tag{26}$$

Para este tipo de ecuaciones siempre existe una solución que satisface (26) y $\sum_{n=0}^{\mathfrak{n}_t} \mathfrak{p}_n(t) = 1$ [6], con lo cual la distribución de probabilidad que se obtiene toma valores menores que la distribución real.

El primer cumulante tiene la forma

$$\mathfrak{c}(t) = \sum_{n=0}^{\mathfrak{n}_t} n\, \mathfrak{p}_n(t) = \sum_{n \in \mathbb{N}} n\, u(\mathfrak{n}_t - n) \mathfrak{p}_n(t)$$

donde $u(t)$ es la función escalón unitario. Derivando a ambos miembros la ecuación anterior y repitiendo el mismo razonamiento de la sección anterior para $\mu = 1 = \nu$

$$\mathfrak{c}(t) = \int_0^t \mathfrak{p}_0(\tau) d\tau + \int_0^t [\mathfrak{p}_{\mathfrak{n}_\tau}(\tau) \mathfrak{n}_\tau d_\tau \mathfrak{n}_\tau - \mathfrak{p}_{\mathfrak{n}_\tau}(\tau)] d\tau \tag{27}$$

la ecuación (27) posee un término de borde, $n = \mathfrak{n}_t$, que no está presente en la expresión (22). El orden del valor medio viene dado por el término de borde dominante

$$\mathcal{O}[\mathfrak{c}(t)] \sim 2^t \tag{28}$$

Recuperamos el caso anterior si tomamos el límite $\mathfrak{n}_t \longrightarrow \infty$ y como $\lim_{n \to \infty} p_n(t) = 0$ el término de borde extra se anula y obtenemos nuevamente (22).

Como la solución del problema en el espacio muestral $\mathbb{N}$ es más simple que en el espacio muestral $\mathbb{E}_t$, a fin de hallar la escala correcta de la interacción, debemos renormalizar la distribución mediante la transformación $\mathfrak{g} : \mathfrak{p}_n(t) \longrightarrow \mathfrak{p}_n^*(t) = \Lambda(t) \mathfrak{p}_n(t)$. Exigiremos dos requisitos sobre esta transformación: dejar invariante la forma de la ecuación de evolución (17) y reescalear la interacción de manera que $\mathcal{O}[\mathfrak{c}(t)] \sim 2^t$.

La covarianza de (17), a través de $\mathfrak{g}$, implica que $\mathfrak{p}_n(t)$ y $\mathfrak{p}_n^*(t)$ corresponden al mismo proceso de Markov, i.e. ambos poseen el mismo generador infinitesimal $\mathbf{Q}$.

Mostraremos que el requisito de covarianza queda satisfecho si $\mathfrak{g}$ es una *transformación de gauge*, esto implica la incorporación de una derivada covariante. En efecto, transformamos (15) por $\mathfrak{g}$, para $n \neq 0$

$$\begin{aligned} d_t \mathfrak{p}_n^*(t) &= d_t \Lambda(t) \mathfrak{p}_n(t) + \Lambda(t) d_t \mathfrak{p}_n(t) \\ d_t \mathfrak{p}_n^*(t) - \frac{d_t \Lambda(t)}{\Lambda(t)} \mathfrak{p}_n^*(t) &= -(\mu_n + \nu_n)\, \mathfrak{p}_n^*(t) + \nu_{n-1}\, \mathfrak{p}_{n-1}^*(t) + \mu_{n+1}\, \mathfrak{p}_{n+1}^*(t) \end{aligned}$$

mientras que para $n = 0$

$$\begin{aligned} d_t \mathfrak{p}_0^*(t) &= d_t \Lambda(t) \mathfrak{p}_0(t) + \Lambda(t) d_t \mathfrak{p}_0(t) \\ d_t \mathfrak{p}_0^*(t) - \frac{d_t \Lambda(t)}{\Lambda(t)} \mathfrak{p}_0^*(t) &= -\nu_0\, \mathfrak{p}_0^*(t) + \mu_1\, \mathfrak{p}_1^*(t) \end{aligned}$$

denotando por $\varpi(t) = \frac{d_t\Lambda(t)}{\Lambda(t)}$ a la función de gauge, podemos definir a la derivada covariante como:

$$\mathfrak{d}_t = d_t - \varpi(t) \tag{29}$$

de manera que $\mathfrak{p}_n^*(t)$ satisface una ecuación de la misma forma que (15)

$$\mathfrak{d}_t\mathfrak{p}_n^*(t) = -(\nu_n + \mu_n)\mathfrak{p}_n^*(t) + \nu_{n-1}\mathfrak{p}_{n-1}^*(t) + \mu_{n+1}\mathfrak{p}_{n+1}^*(t)$$

$$\mathfrak{d}_t\mathfrak{p}_0^*(t) = -\nu_0\mathfrak{p}_0^*(t) + \mu_1\mathfrak{p}_1^*(t)$$

La acción de la derivada covariante sobre $\mathfrak{p}_n(t)$ renormaliza la distribución al número de ancestros en cada generación. Tal transformación debe ser independiente de la generación t, de manera que $\mathfrak{d}_t$ afecte por igual a la distribucón en cada generación, i.e. $\forall t$: $\varpi(t) = \omega$, con $\omega \in \mathbb{R}$, luego $\Lambda(t) = \lambda^{t+a}$, dados $\lambda, a, \in \mathbb{R}$.

El conjunto de transformaciones $\mathfrak{g}$, definidas por $\Lambda(t) = \lambda^{t+a}$, define un *grupo abeliano de Lie de dilataciones* sobre el espacio vectorial al cual pertenece $\mathbf{P}(t)$.

Si transormamos por $\mathfrak{g}$ a los cumulantes (24)-(25) obtenemos

$$\mathfrak{g} : \mathfrak{c}(t) \longrightarrow \lambda^{t+a}\mathfrak{c}(t) = \lambda^{t+a}e^{-2t}[2t\, I_1(2t) + (2t + \tfrac{1}{2})\, I_0(2t)] - \tfrac{1}{2} \tag{30}$$

$$\mathfrak{g} : \sigma(t) \longrightarrow \lambda^{t+a}\sigma(t) = \lambda^{t+a}\{2t + \tfrac{1}{2} - e^{-2t}\left[2t\, I_1(2t) + (2t + \tfrac{1}{2})\, I_0(2t)\right] - \mathfrak{c}_n^2(t)\} \tag{31}$$

Al exigir la otra condición de la escala de la interacción que $\mathcal{O}[\mathfrak{c}(t)] \sim 2^t$ sobre el valor medio de $\mathtt{X}(t)$ tranformado por $\mathfrak{g}$, entonces $\lambda = 2$.

De esta manera, obtenemos una familia de curvas para el valor medio del número de ancestros $\alpha(t)$, parametrizados por a, con la siguiente forma

$$\alpha(t) = 2^{t+1} - 2^{t+a}\left\{e^{-2t}[2t\, I_1(2t) + (2t + \tfrac{1}{2})\, I_0(2t)] - \tfrac{1}{2}\right\} \tag{32}$$

Hemos descrito nuestra dinámica en términos de un proceso distinto, pues la ecuación original (15) hace referencia a un proceso de nacimiento y muerte, de manera que la transformación de gauge $\mathfrak{g}$ encontrada, mapea un problema en el otro.

El valor de a determina el corte por 0 de $\alpha(t)$ y puede ser determinado si conocemos el tiempo de vida medio de la especie bajo estudio. Por lo tanto la distinción entre una especie y otra debe hacerse por medio del parametro a.

Sobre la invariancia del generador Q mediante la transformación de gauge

El proceso de renormalización de la teoría no depende la forma explicita del generador infinitesimal homogéneo $\mathbf{Q}$, esto es, la veremos que la transformación de gauge deja invariante a la ecuación (15).

La transformación de renormalización estaba definida por $\mathfrak{g} : \mathbf{P}(t) \longrightarrow \mathbf{P}^\star(t) = \Lambda(t)\mathbf{P}(t)$, para mantener la forma de la ecuación (10), al transformar mediante $\mathfrak{g}$ a la distribución $\mathbf{P}(t)$ debemos introducir una *conexión afín* que se traduce en la existencia de una *derivada covariante* dada por $\mathfrak{d}_t = d_t - \varpi(t)$, es necesario que el conjunto de funciones no nulas $\{\Lambda(t)\}$ que conectan una distribución con otra a través de $\mathfrak{g}$ formen un grupo de Lie, hemos demostrado que tal conjunto es el grupo de dilataciones sobre el espacio vectorial al cual perteneces $\mathbf{P}(t)$. Mostraremos, independientemente de esto, la buena definición de covarianza de $\mathfrak{d}_t$ demostrando la invarianza de forma de la ecuación (10).

Teniendo en cuenta que todo vector $\mathbf{u}(t)$ se transforma por $\mathfrak{g}$ como $\mathfrak{g}[\mathbf{u}(t)] = \mathbf{u}^\star(t) = \Lambda(t)\mathbf{u}(t)$, luego (10) se transforma por $\mathfrak{g}$ en una ecuación de la forma $\mathfrak{g}[d_t\mathbf{P}] = \mathfrak{g}[\mathbf{QP}(t)] \doteq \mathfrak{g}d_t\mathfrak{g}^{-1}\mathfrak{g}\mathbf{P} = \mathfrak{g}\mathbf{Q}\mathfrak{g}^{-1}\mathfrak{g}\mathbf{P}(t)$ luego

$$\mathfrak{d}_t\mathbf{P}^\star(t) = \mathfrak{g}\mathbf{Q}\mathfrak{g}^{-1}\mathbf{P}^\star(t)$$

con $\mathfrak{g}d_t\mathfrak{g}^{-1} = \mathfrak{d}_t$

$$\begin{aligned}
\Lambda(t)d_t\mathbf{P}(t) &= \Lambda(t)\mathbf{QP}(t) \\
d_t[\Lambda(t)\mathbf{P}(t)] - d_t\Lambda(t)\mathbf{P}(t) &= \mathbf{Q}\Lambda(t)\mathbf{P}(t) \\
d_t\mathbf{P}^\star(t) - \varpi(t)\mathbf{P}^\star(t) &= \mathbf{QP}^\star(t) \\
\mathfrak{d}_t\mathbf{P}^\star(t) &= \mathbf{QP}^\star(t)
\end{aligned}$$

por lo tanto $\mathfrak{g}\mathbf{Q}\mathfrak{g}^{-1} = \mathbf{Q}$ con lo cual $\mathbf{Q}$ es invariante bajo la transformación $\mathfrak{g}$.

Resultados

A continuación mostraremos la forma de las curvas para el valor medio $\alpha(t)$ según (32) para distinitos valores de a.

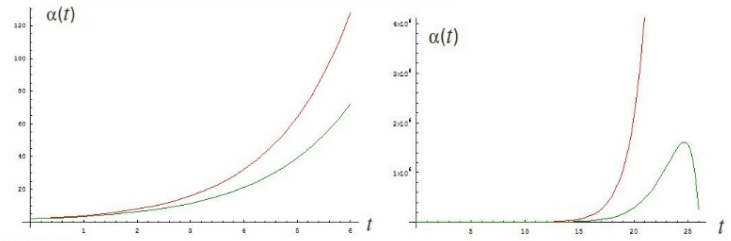

Figure 1: Valor medio $\alpha(t)$ con $a = -1,4$. A izquierda observamos el comportamiento a bajas generaciones, a derecha comportamiento a altas generaciones.

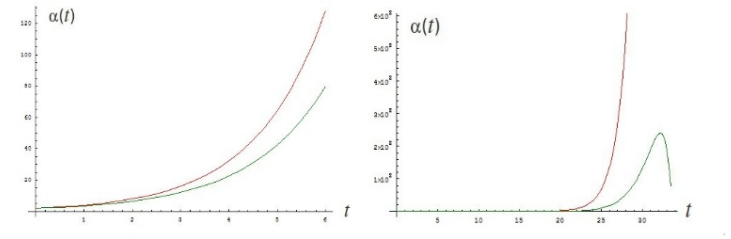

Figure 2: Valor medio $\alpha(t)$ con $a = -1,6$. A izquierda observamos el comportamiento a bajas generaciones, a derecha comportamiento a altas generaciones.

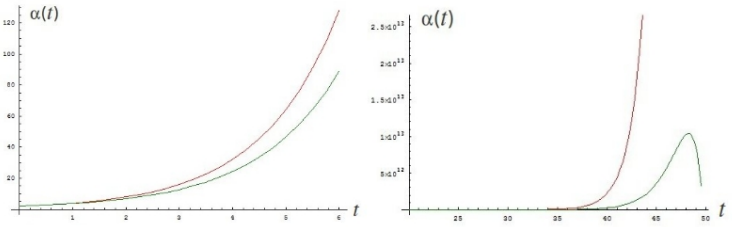

Figure 3: Valor medio $\alpha(t)$ con $a = -1,9$. A izquierda observamos el comportamiento a bajas generaciones, a derecha comportamiento a altas generaciones.

Notamos que el parámetro a regula el alcance de la interacción, $|a|$ crece monótonamente con el valor de corte por 0 de $\alpha(t)$ .A medida que $|a|$ crece se aproxima al comportamiento de la pirámide anecestral 2^{t+1} para bajas generaciones.

Dado que la varianza contiene la información de la dispersión respecto del valor de medio para cada generación, podemos considerar a $\varepsilon(t) = \sqrt{\sigma(t)}$ como una medida del error propio de la naturaleza estocástica del proceso. Por tanto, dado un valor de a, existe toda una banda de curvas perteneciente al conjunto de curvas $[\alpha(t) - \varepsilon(t), \alpha(t) + \varepsilon(t)]$, en la cual se encuentra la información sobre el número medio de ancestros

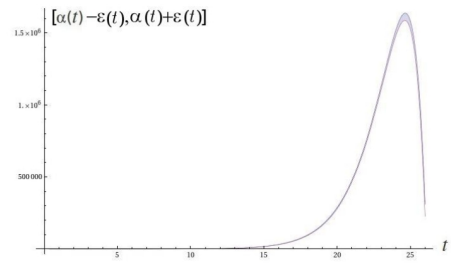

Figure 4: Familia de curvas del número medio de ancestros dada por el conjunto $[\alpha(t) - \varepsilon(t), \alpha(t) + \varepsilon(t)]$.

Mostramos la entropía definida por la *teoría de la información* [7] como la ignorancia acerca del sistema $S(t) = -\sum_n \mathfrak{p}_n(t)\ \ln[\mathfrak{p}_n(t)]$

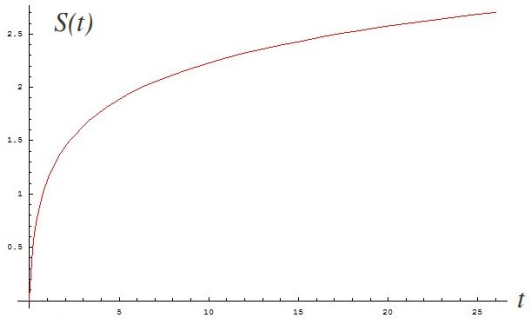

Figure 5: Entropía asociada a la dinámica de ancestros.

Observamos un comportamiento creciente hacia generaciones pasadas, asociado al crecimiento monótono del valor medio de $\mathtt{X}(t)$.

Conclusiones

En el presente trabajo se pretendió construir un modelo que permita calcular la distribución número de ancestros para un individuo de una especie de reproducción biparental utilizando algunos elementos propios de la física actual. A través de las hipótesis de que la restricción principal en el número de ancestros se debe a la consanguinidad entre individuos cogeneracionales, se propuso una proceso estocástico que lo describía generación a generación, dando lugar a una disminución en el número máximo de ancestros posibles en cada generación. A partir de considerar que la relación entre el numero de individuos en una generación restringe la inmediatamente próxima, siguiendo una dinámica del tipo *markoviana*, se obtuvo una ecuación que que permite, junto con una condición inicial, obtener la distribución de probabilidades de obtener un número n de ancestros en la generación t.

Luego se renormalizó la distribución a través de una transformación de gauge, para corregir los defectos que inducía el tamaño del espacio muestral considerado inicialmente. Esto permitió reescalear el problema correctamente e interpretar algunos elementos de la teoría renormalizada, por ejemplo, fijar la escala de la interacción en $\lambda = 2$ y la existencia de un parámetro, a, relacionado con la especie particular bajo estudio.

Finalmente, se calculó la media en el número de ancestros $\alpha(t)$, la varianza $\sigma(t)$, y la entropía $S(t)$, asociadas a la distribución. Todas ellas dependientes de a, parámetro cuyo valor podría ser fijado a través del tiempo de vida de la especie, tasado como el número máximo de generaciones de vida promedio.

El presente modelo podría ser mejorado considerando restricciones adicionales, por eso, creemos que tal como lo hemos presentado define un punto de partida para el estudio formal de esta rama de la ciencia. Posteriormente, proponemos comparar los resultados que se han obtenido de esta distribución con los datos reales de arboles genealógicos y constatar si el modelo predice correctamente estas cantidades y las que de ellas pudieran derivarse.

References

[1] **United Nations Satistics Division**, *http://unstats.un.org*

[2] **Masaaki Kijima**, *Markov Processes for Stochastic Modeling*, Chapman & Hall (1997)

[3] **Leonard Kleinrock**, *Queueing Theory*, Volume I, Wiley-Interscience Publication (1975)

[4] **M. Abramowitz, I. A. Stegun**, *Handbook of mathematical functions*, Dover books on mathematics (1972)

[5] **T. M. Apostol**, *Mathematical analysis*, Addison-Wesley Pub. Co., (1974)

[6] **William Feller**, *An introduction to probability theory and its applications*, Volume I, Willey (1971)

[7] **Roger Balian**, *From microphysics to macrophysics: Methods and applications of statistical physics*, Volume I, Springer (2007)